

## Chapitre 01 : Introduction sur les intégrales de chemins :

### - Introduction :

L'introduction au début du 20<sup>e</sup> siècle de la MQ a permis la compréhension de nombreux phénomènes naturels se produisant à l'échelle atomique ou subatomique.

Avant la physique était décrite par les lois de Newton pour la matière et les équations de Maxwell pour le rayonnement, jusqu'au jour où cette physique a touché ses limites.

En effet les physiciens non pas donner une explication rigoureuse à plusieurs phénomènes physiques tels que :

- L'Effet photo-électrique.
- Effet Compton
- Rayonnement du Corps noir.

Trois formalismes mathématiques de la théorie quantique non-relativiste ont été élaboré afin d'expliquer ces phénomènes.

### 1.2 Naissances de la mécanique quantique

- Introduction du quantique (Planck). (quantification de l'énergie). 1900
- Quanta d'énergie photoélectrique (Einstein 1905)
- Dualité onde-corpuscule (De Broglie 1924).

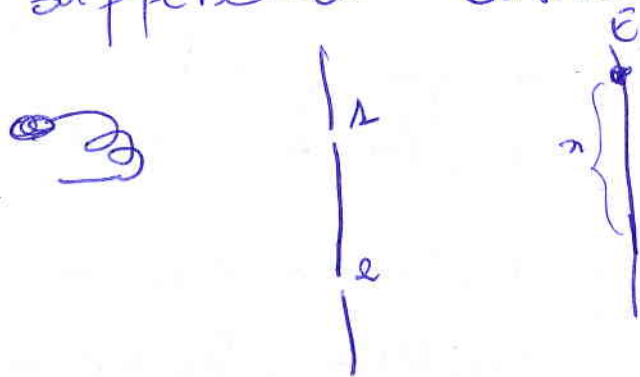
Les trois arrivent des trois formulations de la mécanique quantique.

- 1- formalisme de Schrödinger.  $i\hbar \frac{\partial}{\partial t} \Psi(n,t) = E\Psi(n,t)$
- 2- formalisme de Heisenberg.  $i\hbar \frac{d\hat{O}}{dt} = [\hat{O}, H]$ .
- 3 formalisme de Feynman

Si Heisenberg et Schrödinger ont proposé des théories basées sur la notion d'Hamiltonien, Feynman a, pourtant proposé une formulation lagrangienne de la mécanique quantique non-relativiste.

C'est en étudiant la relation entre les symétries classiques et quantique que Dirac a montré que la fonction de Green solution de l'équation de Schrödinger peut s'exprimer dans un intervalle de temps infinitésimal, comme l'exponentiel de l'action.

Jusqu'à présent de l'expérience des interférences de Young, Feynman a imaginé un dispositif expérimental dans lequel la source lumineuse est remplacée par un canon à électrons. Ces électrons sont captés par un détecteur placé à différentes distances  $x$  du centre de l'écran  $E$ .



Expérience de Feynman

Les résultats enregistrés sur l'écran sont représentés sur la figure suivante

$P(n)$  donne l'intensité enregistrée par le détecteur le long de l'écran lorsque les deux fentes sont ouvertes.

$P_1(n)$  représente l'intensité enregistrée en fermant la fente 1 et en laissant la fente 2 ouverte.

$P_2(n)$  concerne les cas où nous ouvrons la première fente et en laissant la seconde fermée.

Les résultats enregistrés obtenus nous permettent de constater que:  $P(n) \neq P_1(n) + P_2(n)$

Ceci nous conduit à conclure que les électrons ont un comportement ondulatoire. Dans le but de donner un sens physique à ces résultats, Feynman a introduit la notion d'amplitude de probabilité complexe  $\phi(n)$  où  $P(n)$  n'est autre que son module au carré:

$$P(n) = |\phi(n)|^2$$

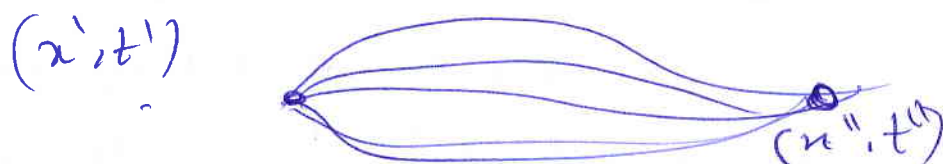
$$\text{Donc } \begin{cases} P_1(n) = |\phi_1(n)|^2 \\ P_2(n) = |\phi_2(n)|^2 \end{cases}$$

L'amplitude de probabilité pour que l'électron tombe en un point situé à une distance  $x$  de l'entrée de l'écran est donnée par la somme des deux amplitudes  $\phi = \phi_1 + \phi_2$

$$|\phi|^2 = |\phi_1|^2 + |\phi_2|^2 + 2\phi_1\phi_2^*$$

- L'expérience précédente peut être étendue au cas ~~d'un~~ d'un écran comportant un grand nombre de fentes. L'amplitude de probabilité totale, correspondant à tout les chemins possibles, est donné par la somme des contributions des amplitudes partielles relatives à toutes les fentes.

Feynman a appliquée ces résultats au cas d'une particule se déplaçant d'un point espace-temps  $(x^i, t^i)$  à un autre  $(x^u, t^u)$ .



L'amplitude de probabilité totale est la somme de toute les probabilités relatives à tout les chemins possibles.

$$\phi = \phi_1 + \phi_2 + \dots + \phi_n$$

$$K(x^i, t^i, x^u, t^u) = \sum_{\text{sur tout } n \text{ chemin possible}} \phi(n).$$

## Postulat de Feynman

Dans le cadre de la mécanique quantique non relativiste et avec les notions de propagateur et de chemin d'espace-temps, Feynman donne une nouvelle formulation du postulat concernant l'évolution des systèmes physiques ~~afin de~~ de calculer la probabilité pour passer entre deux points espace-temps:

### Postulat 1:

L'amplitude totale est donnée par la contribution des amplitudes relatives à toutes les trajectoires.

### Postulat 2:

La contribution de tous les chemins est identique, elle diffère uniquement par la phase:

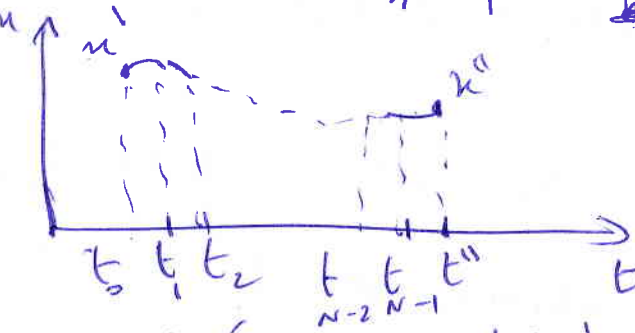
$$k(u', t'; u, t) = \text{cte } \exp\left(\frac{iS}{\hbar}\right);$$

Où  $k(u', t'; u, t)$  est le propagateur, définissant l'amplitude de probabilité pour que la particule passe du point espace-temps  $(u, t')$  à  $(u', t')$

La difficulté qui surgit est le calcul de la fonction d'onde  $\psi(u(t))$  relative au chemin  $u(t)$ , pour cela, Feynman propose de discréteriser chaque chemin, en divisant l'intervalle  $[t', t'']$  en  $N$  intervalles  $s_i$  égaux de largeur  $\epsilon$ ,

où  $t_0 = t'$ . sachant que  $\epsilon = t_{i+1} - t_i$ , ie  $N\epsilon = t'' - t'$

notons par  $u(t_n) = u_n$  pour  $n=0, 1, \dots, N$



$\phi(u)$  est remplacée par  $\phi(u_0, u_1, \dots, u_{n-1}, u_n)$

$\phi$  est une fonctionnelle qui dépend d'une infinité de variables.

En exploitant le résultat de Dirac, selon lequel le propagateur relatif à une particule se mouvant entre deux points très voisins et soumis à un potentiel  $V(u)$  peut s'écrire comme [1] :

$$K(u_{n+1}, t_{n+1}; u_n, t_n) = K(u_{n+1}, u_n; \epsilon) \\ = \left( \frac{\hbar}{2i\pi\hbar\epsilon} \right)^{1/2} \exp \left\{ \frac{i\epsilon}{\hbar} \left[ \frac{m}{2} \frac{(u_{n+1} - u_n)^2}{\epsilon^2} - V(u_n) \right] \right\}$$

Le propagateur s'écrit en fonction de l'opérateur évolution dans le temps comme :

$$K(u_2^*, t_2^*; u_1^*, t_1^*) = \langle u_2^* | U(t_2^*, t_1^*) | u_1^* \rangle$$

Où  $U(t_2, t_1)$  est l'opérateur évolution dans le temps.

$$|\psi(t_2)\rangle = U(t_2, t_1) |\psi(t_1)\rangle$$

$$\langle u_2 | \psi(t_2) \rangle = \langle u_2 | U(t_2, t_1) \psi(t_1) \rangle$$

$\uparrow = \int_{-\infty}^{+\infty} \langle u_1 | \psi(t_1) \rangle dt_1$

[1] : R.A.M. Dirac, The principles of Quantum mechanics (Oxford University press (1985)).

$$\psi(u_2, t_2) = \int_{-\infty}^{+\infty} \langle u_2 | u(t_2, t_1) | u_1 \rangle \langle u_1 | \psi(t_1) \rangle du_1$$

$$\psi(u_2, t_2) = \int_{-\infty}^{+\infty} k(u_2, t_2; u_1, t_1) \psi(u_1, t_1) du_1$$

Quand  $t_2$  est voisin de  $t_1$ , c'est à dire  $t_2 = t_1 + \varepsilon$

$$\psi(u_2, t_1 + \varepsilon) = \int_{-\infty}^{+\infty} k(u_2, t_1; u_1, t_1) \psi(u_1, t_1) du_1$$

La décomposition de l'intervalle de temps  $[t^0, t^1]$  en  $N$  intervalles de temps égaux, nous permet à partir de l'équation précédente, d'exprimer le propagateur global sous la forme:

$$K(u^0, t^0, u^1, t^1) = \lim_{\substack{i \rightarrow N-1 \\ \varepsilon \rightarrow 0}} \prod_{j=1}^N \int_{u_{j-1}}^{u_j} k(u_j, u_{j-1}; \varepsilon) du_j$$

Le remplacement de chaque propagateur  $k(u_j, u_{j-1}; \varepsilon)$  pour son expression conduit à:

$$K(u^0, t^0, u^1, t^1) = \lim_{N \rightarrow \infty} \left( \frac{m}{2\pi i \hbar \varepsilon} \right)^{\frac{1}{2}} \int \cdots \int_{j=1}^N \frac{du_j}{\left( \frac{m}{2\pi i \hbar \varepsilon} \right)^{\frac{1}{2}}} \times \exp \left[ \frac{i}{\hbar} \varepsilon \sum_{k=1}^N S(u_k, u_{k-1}; \varepsilon) \right]$$

$$\text{où } S(u_k, u_{k-1}; \varepsilon) = \frac{m}{2} \frac{(u_k - u_{k-1})^2}{\varepsilon^2} - \mathcal{V}(u_k)$$

D'une matière condensée:

$$K(n^0, t^0, n, t') = \int \exp\left[\frac{i}{\hbar} S[n(t)]\right] D[n(t)]$$

$D[n(t)]$  est la mesure différentielle relative  
à tous les chemins possibles  $n(t)$

3. Intégrale de chemin en coordonnées cartésiennes et dans l'espace des phases par le produit de Lie Trotter:

En partant du fait que le propagateur de Feynman n'est autre que l'élément de matrice de l'opérateur évolution dans le temps entre deux états  $|n\rangle$  et  $|n'\rangle$  de l'espace des configurations.

$$K(n', t'; n, t) = \langle n | e^{-i\hat{H}T} | n' \rangle \quad (3.1)$$

$$T = t'' - t' \text{ et } \hat{H} = \frac{\hat{P}^2}{2m} + \hat{V}(n) \quad (3.2)$$

$T$  est le temps dans lequel il s'effectue le passage  $|n', t'\rangle \rightarrow |n'', t''\rangle$

$\hat{V}(n)$  a pour états propres  $|n\rangle$ :  $\hat{V}(n)|n\rangle = V(n)|n\rangle$

$\hat{T} = \frac{\hat{P}^2}{2m}$  a pour état propre  $|P\rangle$ :  $\frac{\hat{P}^2}{2m}|P\rangle = \frac{P^2}{2m}|P\rangle \quad (3.3)$

En utilisant la formule de Lie Trotter.

$$e^{A+B} = \lim_{N \rightarrow \infty} (e^{A/N} e^{B/N})^N \quad (3.4)$$

Ceci nous permet de mettre le propagateur (3.1) sous forme d'une intégrale multiple de Riemann de dimension  $N$ , il en résulte:

$$K(n', t'; n, t) = \lim_{N \rightarrow \infty} \langle n' | e^{-\lambda \frac{\hat{P}^2}{2m}} e^{-\lambda \hat{V}_N} \dots e^{-\lambda \frac{\hat{P}^2_N}{2m}} e^{-\lambda \hat{V}_N} | n' \rangle; \quad (3.5)$$

$$\text{avec : } \lambda = i(t'' - t') = i \frac{T}{\hbar} \quad (3.6)$$

En injectant  $(N-1)$  fois la relation de fermeture

$$\int |n_j\rangle \langle n_j| dz_j = 1; \text{ fermionne:}$$

$$f(u^0, t^0, u^1, t^1) = \lim_{N \rightarrow \infty} \int \dots \int dx_{N-1} \langle x_1 | e^{-\frac{i\hbar}{2mN} \hat{P}_N^2} e^{-\lambda \hat{V}_N} | u_N \rangle \times \int dx_{N-2} \langle x_{N-1} | e^{-\frac{i\hbar}{2mN} \hat{P}_{N-1}^2} e^{-\lambda \hat{V}_{N-1}} | u_{N-2} \rangle \dots \int dx_1 \langle x_1 | e^{-\frac{i\hbar}{2mN} \hat{P}_1^2} e^{-\lambda \hat{V}_1} | p_1 \rangle \quad (3.8)$$

On a encore  $f = \lim_{N \rightarrow \infty} \int \dots \int \sum_{j=1}^N \exp \left[ -\frac{i\hbar}{2mN} \nabla (u_j) \right]$

$$\times \langle x_j | \exp \left\{ -\lambda \frac{\hat{P}_j^2}{2mN} \right\} | u_{j-1} \rangle \sum_{j=1}^{N-1} du_j \quad (3.9)$$

Nous pouvons calculer l'élément de matrice de l'opérateur énergie cinétique, en injectant la relation de fermeture de l'espace des impulsions

$$\langle u_j | \exp \left[ -\lambda \frac{\hat{P}_j^2}{2mN} \right] | u_{j-1} \rangle = \int \langle u_j | \exp \left\{ -\lambda \frac{P_j^2}{2mN} \right\} | P_j \rangle \times \langle P_j | u_{j-1} \rangle dP_j \quad (3.10)$$

En plaçant  $\langle P_j | u_{j-1} \rangle$  par son expression,

il vient :

$$\langle u_j | P_j \rangle = \frac{1}{\sqrt{2\pi\hbar}} e^{iP_j u_j / \hbar} \quad (3.11)$$

$$\langle P_j | u_{j-1} \rangle = \frac{1}{\sqrt{2\pi\hbar}} e^{-iP_j u_{j-1} / \hbar} \quad (3.12)$$

$$\langle x_j | \exp \left\{ -\lambda \frac{\hat{P}_j^2}{2mN} \right\} | u_{j-1} \rangle = \cancel{\dots}$$

$$= \frac{1}{2\pi\hbar} \int \exp \left\{ -\frac{i}{\hbar} \left[ \left( \frac{P_j^2}{2mN} - P_j (u_j - u_{j-1}) \right) \right] \right\} dP_j \quad (3.13)$$

En utilisant la relation suivante :

$$\int e^{-\alpha n^2 - \beta n} dn = e^{\frac{\beta^2}{4\alpha}} \sqrt{\frac{\pi}{\alpha}} \quad - (3.14)$$

La relation  $-(3.13)$  devient:

$$\begin{aligned} & \langle u_f | \exp \left[ -i \frac{\hat{P}^2}{2m\hbar^2} \right] | u_{f-1} \rangle \\ &= \sqrt{\frac{m}{2i\hbar\varepsilon}} \exp \left[ \frac{im}{2\hbar\varepsilon} (n_f - n_{f-1})^2 \right] \end{aligned} \quad - (3.15)$$

La substitution de  $(3.15)$  dans  $(3.9)$  nous conduit à:

$$K(n^i, t^i; n_i, t) = \lim_{N \rightarrow \infty} \int \dots \int \prod_{j=1}^N \left[ \frac{m}{2i\hbar\varepsilon} \right]^{\frac{1}{2}} \exp \left\{ i \frac{1}{\hbar} \left[ \frac{m(n_j - n_{j-1})^2}{2\varepsilon} - \varepsilon V(n_j) \right] \right\} d n_j \quad - (3.16)$$

$$\text{Or: } \prod_{j=1}^N e^{iw_j} = \exp \left\{ i \sum_{j=1}^N w_j \right\} ; \quad - (3.17)$$

Il en découle:

$$\begin{aligned} K(n^i, t^i; n_i, t) &= \lim_{N \rightarrow \infty} \left( \frac{m}{2i\hbar\varepsilon} \right)^{\frac{N}{2}} \times \\ &\times \int \dots \int \exp \left\{ i \left\{ \sum_{j=1}^N \frac{m}{2\varepsilon} (n_j - n_{j-1})^2 - \varepsilon V(n_j) \right\} \right\} \prod_{j=1}^{N-1} dn_j \end{aligned} \quad - (3.18)$$

Parfois, il est avantageux de travailler avec des propagateurs contenant l'Hamiltonien  $H$  au lieu du Lagrangien  $L$ .

Exemples d'application:

Le lagrangien relatif à la particule libre est donné par:  $L(u, \dot{u}) = m \frac{\dot{u}^2}{2}$  — 4.1

En utilisant la formule décrétée du propagateur

$$K(u, t', u', t) = \lim_{\varepsilon \rightarrow 0} \frac{1}{A} \cdot \int_{k=1}^{N-1} \frac{du_k}{A} e^{\frac{iS}{\hbar}} \quad (4.2)$$

avec  $\varepsilon = \frac{t' - t}{N}$  et  $S = \sum_{k=0}^{N-1} \frac{1}{2} m (u_{k+1} - u_k)^2 -$   
 $u_0 = u \quad u_N = u', \quad A = \left( \frac{2\pi i \hbar \varepsilon}{m} \right)^{1/2}$

Prenons la première intégrale:

$$\begin{aligned} I_1 &= \int_{-\infty}^{+\infty} du_1 e^{\frac{im}{2\varepsilon\hbar} [(u_1 - u_0)^2 + (u_2 - u_1)^2]} \\ &= \int_{-\infty}^{+\infty} du_1 e^{\frac{im}{2\varepsilon\hbar} [2(u_1 - \frac{1}{2}(u_0 + u_1))^2 + \frac{1}{2}(u_2 - u_0)^2]} \\ &= \sqrt{\frac{2\pi i \hbar \varepsilon}{m}} \frac{1}{2} e^{\frac{im}{2\varepsilon\hbar} \frac{1}{2}(u_2 - u_0)^2} \end{aligned}$$

Nous remarquons que  $u_1$  a disparu ↗

Prenons la deuxième intégrale:

$$\begin{aligned} I_2 &= \int_{-\infty}^{+\infty} du_2 e^{\frac{im}{2\varepsilon\hbar} [\frac{1}{2}(u_2 - u_0)^2 + (u_3 - u_2)^2]} \\ &= \int_{-\infty}^{+\infty} du_2 e^{\frac{im}{2\varepsilon\hbar} [\frac{3}{2}(u_2 - \frac{1}{3}u_0 - \frac{2}{3}u_3)^2 + \frac{1}{3}(u_3 - u_0)^2]} \\ &= \sqrt{\frac{2\pi i \hbar \varepsilon}{m}} \frac{2}{3} e^{\frac{im}{2\varepsilon\hbar} \frac{1}{3}(u_3 - u_0)^2} \end{aligned}$$

En résonant par récurrence, nous pouvons démontrer que:

$$\int d\eta_n e^{\frac{im}{2\varepsilon\hbar} \left[ \frac{1}{n} (\eta_n - \eta_0)^2 + (\eta_{n+1} - \eta_n)^2 \right]}$$

$$= \int d\eta_n e^{\frac{im}{2\varepsilon\hbar} \left[ \frac{n+1}{n} \left( \eta_n - \left( \frac{1}{n+1} \eta_0 + \frac{n}{n+1} \eta_{n+1} \right) \right)^2 + \frac{1}{n+1} (\eta_{n+1} - \eta_0)^2 \right]}$$

$$= \underbrace{\sqrt{\frac{2\pi i\varepsilon\hbar}{m}} \frac{n}{n+1}}_A e^{\frac{im}{2\varepsilon\hbar} \frac{1}{n+1} (\eta_{n+1} - \eta_0)^2}$$

Donc si on calculent tout les termes, on trouve le propagateur relatif à la particule libre

$$K(n^0, t'; n^0, t') = \lim_{E \rightarrow 0} \frac{1}{A} \sqrt{\frac{1}{2} \frac{2}{3} \cdots \frac{N}{N}} e^{im \frac{(n^0 - n^0)^2}{2\varepsilon\hbar E}}$$

$$= \sqrt{\frac{m}{2\pi i\varepsilon\hbar(t' - t)}} e^{\frac{im}{2\varepsilon\hbar} \frac{(n^0 - n^0)^2}{t' - t}}$$

$$= \sqrt{\frac{m}{2\pi i\varepsilon\hbar T}} e^{\frac{im}{2\varepsilon\hbar} \frac{(n^0 - n^0)^2}{T}}$$

2<sup>e</sup> méthode: En utilisant la forme

$$\text{Hamiltonienne: } H = \frac{\hat{P}^2}{2m}, \quad \Pi = \int dP \langle P | \hat{P}^2 | P \rangle$$

$$K(n^0, n^0, T) = \langle n^0 | e^{-i\hbar T/m} | n^0 \rangle$$

$$= \int_{-\infty}^{+\infty} dP \langle n^0 | P \rangle e^{-i\frac{\hbar T P^2}{2m}} \langle P | n^0 \rangle$$

En utilisant la relation:

$$\langle n^0 | P \rangle = \frac{1}{\sqrt{2\pi\hbar}} e^{\frac{i}{\hbar} P n^0}$$

$$\langle P | n^0 \rangle = \frac{1}{\sqrt{2\pi\hbar}} e^{-\frac{i}{\hbar} P n^0}$$

Le propagateur devient :

$$K(n', n, T) = \frac{1}{2\pi\hbar} \int_{-\infty}^{+\infty} \frac{i}{\partial\hbar} \left[ e^{(n'-n) - T \frac{p^2}{2m}} \right]$$

En utilisant l'intégrale :

$$\begin{aligned} I_{[a, b]} &= \int_a^b du e^{-\alpha u^2 + j u} \quad j \in \mathbb{R} \\ &= \sqrt{\frac{\pi}{2\alpha}} e^{\frac{j^2}{2\alpha}} \end{aligned}$$

avec  $\begin{cases} j = \frac{i}{\hbar} (n' - n) \\ a = \frac{E}{m} - \frac{i}{\hbar T} \end{cases}$

On aura :

$$K(n', n, T) = \sqrt{\frac{m}{2\pi i\hbar T}} e^{\frac{im}{2\hbar T} (n' - n)^2}$$